

Kapitel 5

Timing:

1. Physikalische Eigenschaften
2. **Timing wichtiger Komponenten**
3. Exaktes Timing von ReTI

Albert-Ludwigs-Universität Freiburg

Dr. Tobias Schubert, Dr. Ralf Wimmer

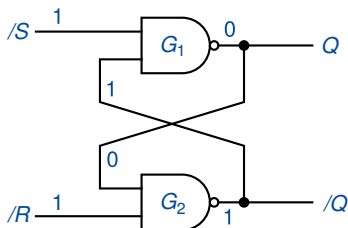
Professur für Rechnerarchitektur

WS 2016/17

- Timing für ein paar (bereits bekannte) Schaltpläne:
 - RS-Flipflop
 - D-Latch
 - D-Flipflop
- Timing weiterer Komponenten, die bei der Realisierung der ReTI genutzt werden:
 - Kontrolllogik
 - Register mit Clock-Enable
 - ALU
 - Speicher

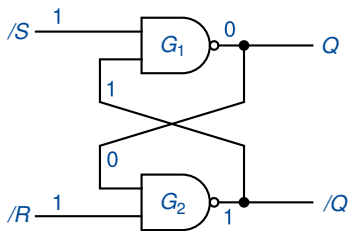
RS-Flipflop

- Zustand $Q = 0 \rightarrow$ Zustand $Q = 1$:



RS-Flipflop

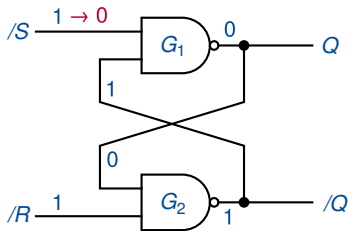
- Zustand $Q = 0 \rightarrow$ Zustand $Q = 1$:



- Senke $/S$ zur Zeit t_0 ab und hebe zu $t_0 + x$ wieder an (einen solchen Signalverlauf nennt man Puls).

RS-Flipflop

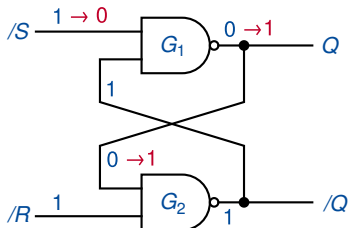
- Zustand $Q = 0 \rightarrow$ Zustand $Q = 1$:



- Senke $/S$ zur Zeit t_0 ab und hebe zu $t_0 + x$ wieder an (einen solchen Signalverlauf nennt man Puls).

RS-Flipflop

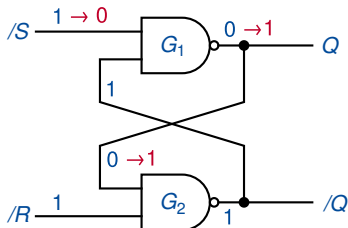
- Zustand $Q = 0 \rightarrow$ Zustand $Q = 1$:



- Senke $/S$ zur Zeit t_0 ab und hebe zu $t_0 + x$ wieder an (einen solchen Signalverlauf nennt man Puls).

RS-Flipflop

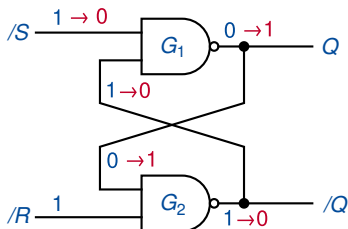
- Zustand $Q = 0 \rightarrow$ Zustand $Q = 1$:



- Senke $/S$ zur Zeit t_0 ab und hebe zu $t_0 + x$ wieder an (einen solchen Signalverlauf nennt man Puls).
- Nach Zeit $t_{P/SQ}$ ist $Q = 1$.

RS-Flipflop

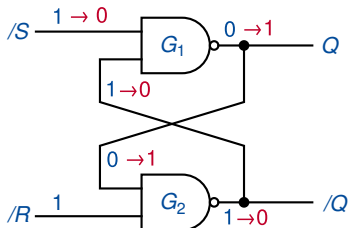
- Zustand $Q = 0 \rightarrow$ Zustand $Q = 1$:



- Senke $/S$ zur Zeit t_0 ab und hebe zu $t_0 + x$ wieder an (einen solchen Signalverlauf nennt man Puls).
- Nach Zeit $t_{P/SQ}$ ist $Q = 1$.

RS-Flipflop

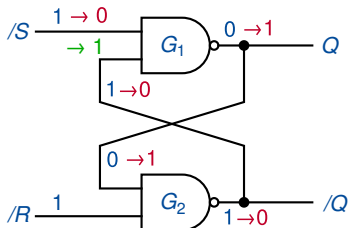
- Zustand $Q = 0 \rightarrow$ Zustand $Q = 1$:



- Senke $/S$ zur Zeit t_0 ab und hebe zu $t_0 + x$ wieder an (einen solchen Signalverlauf nennt man Puls).
- Nach Zeit $t_{P/SQ}$ ist $Q = 1$.
- Nach Zeit $t_{P/S/Q}$ ist $/Q = 0$.

RS-Flipflop

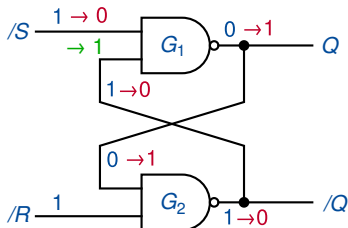
- Zustand $Q = 0 \rightarrow$ Zustand $Q = 1$:



- Senke $/S$ zur Zeit t_0 ab und hebe zu $t_0 + x$ wieder an (einen solchen Signalverlauf nennt man Puls).
- Nach Zeit $t_{P/SQ}$ ist $Q = 1$.
- Nach Zeit $t_{P/S/Q}$ ist $/Q = 0$.

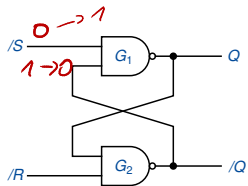
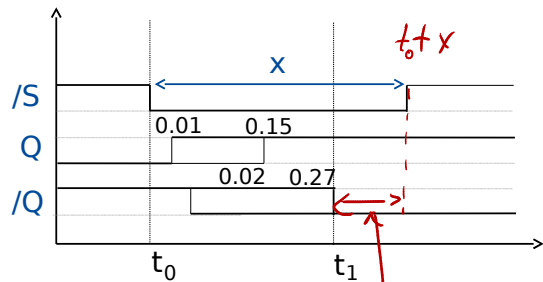
RS-Flipflop

- Zustand $Q = 0 \rightarrow$ Zustand $Q = 1$:



- Senke $/S$ zur Zeit t_0 ab und hebe zu $t_0 + x$ wieder an (einen solchen Signalverlauf nennt man Puls).
- Nach Zeit $t_{P/SQ}$ ist $Q = 1$.
- Nach Zeit $t_{P/S/Q}$ ist $/Q = 0$.
- Wähle x so, dass kein Spike entsteht.

Übergang - graphisch



NAND	t^{\min}	t^{\max}
G_1 τ_{PLH}	0.01	0.15
G_2 τ_{PHL}	0.01	0.12

muss
spikefreies Umschalten
von G_1 gewährleisten!!!

Spikefreier Übergang

- Nach den Regeln des spikefreien Umschaltens von Gattern entsteht kein Spike, falls:

$$(\cancel{t_0} + x) - (\cancel{t_0} + 0.27) \geq 0.41 \Leftrightarrow \underline{x \geq 0.68ns}$$

- Wechsel von Zustand $Q = 1$ zu Zustand $Q = 0$ aus Symmetriegründen analog.

Symbole und Bezeichnungen

Symbol	Bezeichnung	t_{\min}	t_{\max}
x	Pulsweite	0.68	
$\tau_{P/SQ}$	Verzögerungszeit von /S bis Q	<u>0.01</u>	<u>0.15</u>
$\tau_{P/S/Q}$	Verzögerungszeit von /S bis /Q	<u>0.02</u>	<u>0.27</u>
$\tau_{P/RQ}$	Verzögerungszeit von /R bis Q	0.02	0.27
$\tau_{P/R/Q}$	Verzögerungszeit von /R bis /Q	0.01	0.15

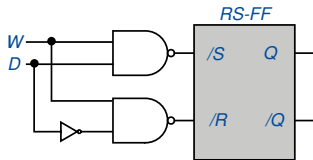
D-Latch

- W ist *active high*.

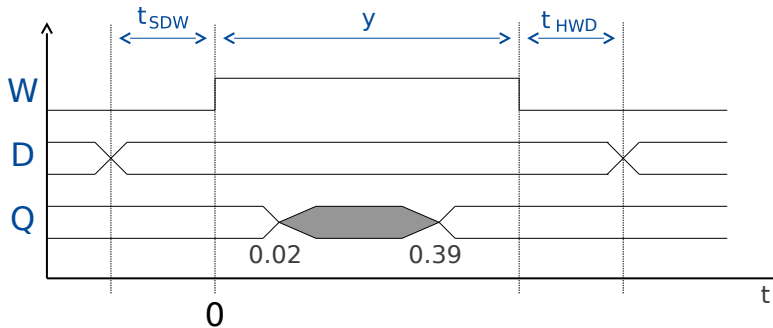
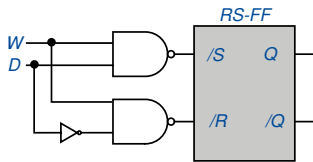
- $W = 0 \Rightarrow /S, /R$ inaktiv

- $W = 1 \Rightarrow \begin{cases} /S \text{ aktiv,} & \text{falls } D = 1 \\ /R \text{ aktiv,} & \text{falls } D = 0 \end{cases}$

- Wie beim RS-Flipflop (minimale Pulsweite!) muss man auch beim D-Latch bestimmte Forderungen an den zeitlichen Verlauf der Signale stellen, um Spikefreiheit zu garantieren.



Timing-Diagramm



Timing-Bedingungen für das D-Latch

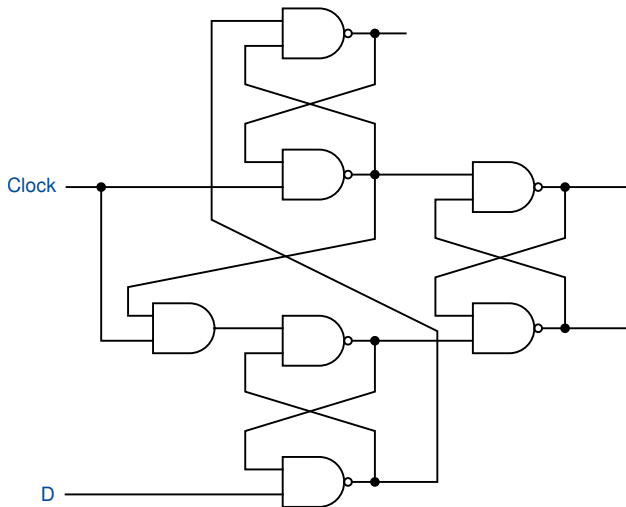
- W muss beim Schreiben **lange genug 1** sein, um **minimale Pulsweite x** des RS-FFs zu garantieren.
- **Vor $W : 0 \rightarrow 1$** werden Daten für Zeit t_{SDW} stabil gehalten, um Spikes auf $/S$, $/R$ zu vermeiden (der kritischste Fall ist das Verhindern von Spikes auf $/R$ bei Schreiben von 1).
- **Nach $W : 1 \rightarrow 0$** werden Daten für Zeit t_{HWD} stabil gehalten, um Spikes auf $/S$, $/R$ zu vermeiden (der kritischste Fall ist das Verhindern von Spikes auf $/S$ beim Schreiben von 0).

Man rechnet nach:

Der Schreibvorgang beim D-Latch funktioniert mit den Parameterwerten aus der Tabelle (siehe Übung).

Symbol	Bezeichnung	t^{\min}	t^{\max}
y	Pulsweite des Schreibimpulses	0.79	
t_{SDW}	Setupzeit von D bis W	0.49	
t_{HDW}	Holdzeit von W nach D	0.41	
τ_{PWQ}	Verzögerungszeit von W bis Q	0.02	0.39
(τ_{PDQ})	Verzögerungszeit von D bis Q	0.02	0.54)

Mögliche Realisierung: D-Flipflop

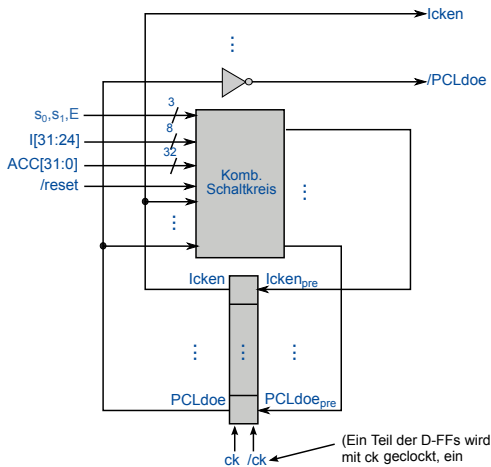


Timing: D-Flipflop

- Vorgehen [analog](#) zu RS-Flipflop und D-Latch.
- Wir verzichten daher auf weitere Details.
- Die [NanGate-Bibliothek](#) enthält bereits ein D-FF mit folgenden charakteristischen Zeiten (in *ns*):

Symbol	Bezeichnung	t^{\min}	t^{\max}
t_{SDC}	Setupzeit von D bis ck	0.08	
t_{HCD}	Holdzeit von D nach ck	0.14	
τ_{PCQ}	Verzögerungszeit von ck bis Q	0.12	0.26

Aufbau der Kontrolllogik, zur Erinnerung



- Generierung der Kontrollsignale (OE von Treibern, ALU-Ansteuerung, ...).
- Ist ein Kontrollsignal *active low*, dann bezeichnen wir es z.B. mit $/x$. Das Ausgangssignal $/x$ ergibt sich dann durch Negation des Ausgangssignals x eines entsprechenden FFs mit Eingangssignal x_{pre} .
- Ist ein Kontrollsignal *active high*, dann bezeichnen wir es z.B. mit x . Das Ausgangssignal x entspricht dem Ausgangssignal eines FFs mit Eingangssignal x_{pre} .

- Die Dauer eines Taktes bezeichnen wir als **Zykluszeit t_c** .
- Active-High-Ausgangssignale der Kontrolllogik, bei denen das FF mit ck gesteuert ist, sind gegenüber der steigenden Flanke von ck um Zeit $\tau_{p,ah}^+$ verzögert (resultiert aus D-FF-Verzögerung).
- Active-Low-Ausgangssignale der Kontrolllogik, bei denen das FF mit ck gesteuert ist, sind gegenüber der steigenden Flanke von ck um Zeit $\tau_{p,al}^+$ verzögert (resultiert aus D-FF-Verzögerung + Inverterverzögerung).
- Active-High-Ausgangssignale der Kontrolllogik, bei denen das FF mit $/ck$ gesteuert ist, sind gegenüber der letzten steigenden Flanke von ck um Zeit $\tau_{p,ah}^- = \tau_{p,ah}^+ + t_c/2 + \tau_{PLH,Inv}$ verzögert.
- Active-Low-Ausgangssignale der Kontrolllogik, bei denen das FF mit $/ck$ gesteuert ist, sind gegenüber der letzten steigenden Flanke von ck um Zeit $\tau_{p,al}^- = \tau_{p,al}^+ + t_c/2 + \tau_{PLH,Inv}$ verzögert.

INV	t^{\min}	t^{\max}
τ_{PLH}	0.01	0.15
τ_{PHL}	0.00	0.08

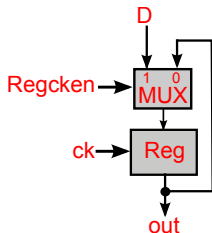
Timing: Kontrolllogik

- Mit geeigneter Implementierung des kombinatorischen Teiles erhält man folgende charakteristische Zeiten.

Symbol	Bezeichnung	t^{\min}	t^{\max}
$\tau_{p,ah}^+$	Verzögerungszeit ck bis Q , active high	0.12	0.26
$\tau_{p,al}^+$	Verzögerungszeit ck bis Q , active low	0.12	0.41
$\tau_{p,ah}^-$	Verzögerungszeit ck bis Q (von $/ck$ angesteuert, active high)	$t_c/2 + 0.13$	$t_c/2 + 0.41$
$\tau_{p,al}^-$	Verzögerungszeit ck bis Q (von $/ck$ angesteuert, active high)	$t_c/2 + 0.13$	$t_c/2 + 0.56$
t_{SDC}^+	Setupzeit von D bis ck	0.88	
t_{SDC}^-	Setupzeit von D bis $/ck$	0.88	
t_{HCD}^+	Holdzeit von D nach ck	0.06	
t_{HCD}^-	Holdzeit von D nach $/ck$	0.06	

Register mit Clock-Enable

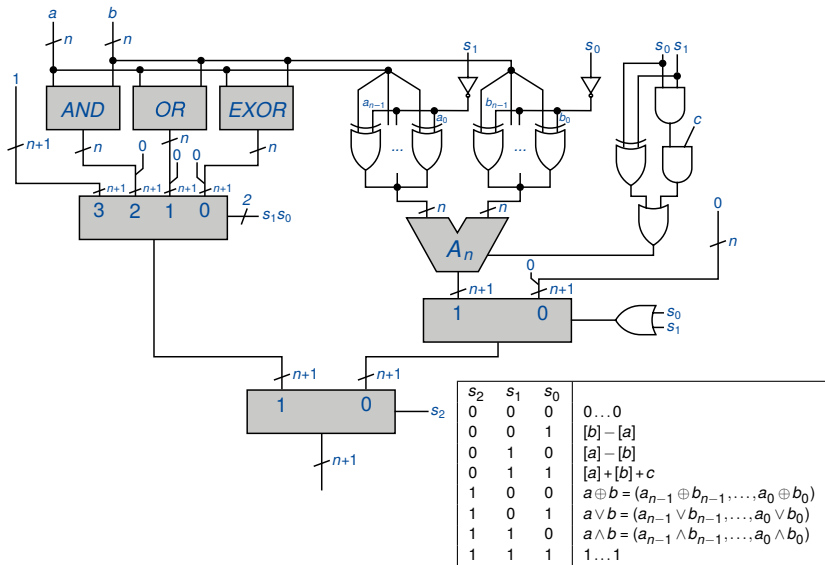
- Bei der Implementierung benötigen wir noch einen Treiberbaum der Tiefe 2, um *Regcken* auf 32 1-Bit-Multiplexer zu verteilen.



Symbol	Bezeichnung	t^{\min}
t_{SDC}	Setup-Zeit von D vor ck	0.23
t_{HDC}	Hold-Zeit von D nach ck	0.11
t_{SEC}	Setup-Zeit von $Regcken$ vor ck	0.46
t_{HEC}	Hold-Zeit von $Regcken$ nach ck	0.08

- t_{SDC} ergibt sich aus Setupzeit D-FF + maximale Verzögerungszeit Multiplexer (Daten bis Ausgang) (0.08 + 0.15).
- t_{HDC} ergibt sich aus Holdzeit D-FF - minimale Verzögerungszeit Multiplexer (Daten bis Ausgang) (0.14 - 0.03).
- t_{SEC} ergibt sich aus Setupzeit D-FF + maximale Verzögerungszeit Multiplexer (Select bis Ausgang) + 2 x maximale Verzögerungszeit Treiber (0.08 + 0.16 + 2 x 0.11).
- t_{HEC} ergibt sich aus Holdzeit D-FF - minimale Verzögerungszeit Multiplexer (Select bis Ausgang) - 2 x minimale Verzögerungszeit Treiber (0.14 - 0.02 - 2 x 0.02).

Schaltrealisierung der ALU

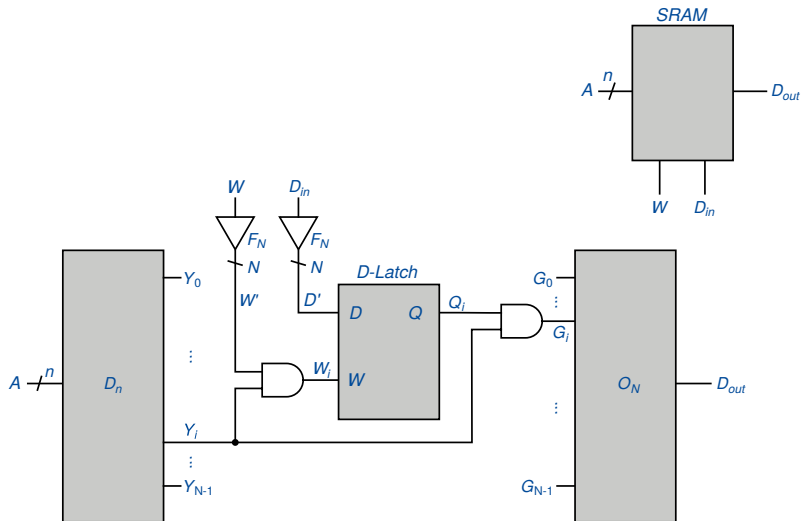


Timing: ALU

- Annahme: ALU mit 32-Bit-Addierer (Conditional Sum).
- Man zeigt:
 - Längster Pfad über ALU läuft durch den Addierer.
 - Annahme:
 - Die Funktion–Select–Bits sind mindestens $t_{select} = 0.28 \text{ ns}$ vor den Operanden gültig.
 - Dann ist garantiert, dass der kritische Pfad nicht durch die select–Eingänge bestimmt wird.
 - Zeitverhalten der ALU:

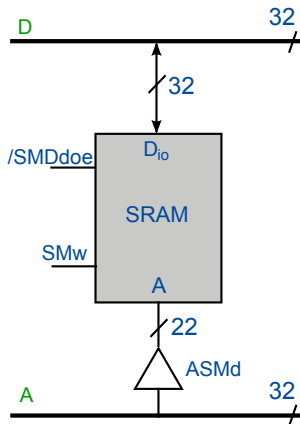
Symbol	Bezeichnung	t^{\min}	t^{\max}
t_{select}		0.28	
t_{ALU}	Verzögerungszeit von a , b bzw. c_{in} bis Ausgang		3.25

SRAM



- Auch hier wäre das Vorgehen **analog** zu den bereits vorgestellten Analysen möglich. Zuvor muss man sich noch Gedanken machen um das Timing von:
 - Dekodierer
 - Treiberbäume
 - OR-Baum
- Eine detaillierte Timinganalyse ist **aufwändig**.
- Für die folgenden Timinganalysen orientieren wir uns an dem **kommerziell angebotenen** SRAM CY7C1079DV33 der Firma **Cypress Semiconductor** (siehe folgende Folien).

Interface zu CY7C1079DV33



Timing: CY7C1079DV33

- Aus dem Datenblatt entnimmt man:

Symbol	Bezeichnung	t^{\min}	t^{\max}
t_{acc}	Lesezugriffszeit		12.0
t_{OED}	Zeit von $/SMDdoe = 0$ bis D		7.0
t_{OEZ}	Zeit von $/SMDdoe = 1$ bis high-Z		7.0
t_{wc}	Schreibzykluszeit	12.0	
t_{SAW}	Setupzeit von A bis W	0.0	
t_{SAEW}	Setupzeit von A bis Ende W	9.0	
t_{HWA}	Holdzeit von A nach W	0.0	
w	Schreibpulsweite	9.0	
t_{SDEW}	Setupzeit von D bis Ende W	7.0	
t_{HWD}	Holdzeit von D nach W	0.0	